

MO420 - Programação Linear Inteira

RELATÓRIO DO TRABALHO PRÁTICO 1

Luis Henrique Pauleti Mendes
RA 117801

Campinas, 21 de Maio de 2018

Sumário

1	Introdução	1
2	Respostas das Questões Teóricas	2
3	Pré-processamento	4
4	Heurística Lagrangiana	5
5	Heurística Construtiva	5
6	Resultados	6
	Referências Bibliográficas	7

1 Introdução

Neste trabalho foi estudado o Problema da Árvore Geradora de Custo Mínimos com Conflitos (AGMCC) e implementado algoritmos lagrangianos para resolvê-lo. Seja um grafo $G = (V, E)$, não direcionado, com $|V| = n$ e $|E| = m$. A cada aresta e de E está associado um custo c_e . Além disso, é dado um conjunto S de pares de arestas, chamado de *conjunto de conflito*, com $|S| = p$. Cada elemento de $\{e, f\}$ em S é chamado de um *par (de arestas) conflitante*. Uma árvore geradora T de G é dita ser livre de conflitos se nenhum par de arestas em T é conflitante. No AGMCC o que se deseja é encontrar uma árvore geradora de custo mínimo que seja livre de conflitos.

Seja \mathcal{F} o conjunto de todos os vetores de incidência (ou característicos) que representam árvores geradoras de G . Denotando por x um destes vetores, temos que $x \in \mathbb{B}^m$. Assim, o AGMCC pode ser modelado por:

$$(IP) \quad z = \min \left\{ \sum_{e \in E} c_e x_e \right\} \quad (1.1)$$

sujeito a:

$$x_e + x_f \leq 1, \forall \{e, f\} \in S \quad (1.2)$$

$$x \in \mathcal{F} \quad (1.3)$$

Denote por S_e o conjunto de pares conflitantes envolvendo a aresta e . Seja ainda e^* a aresta de E com menor custo para o qual S_e não é vazio. Finalmente, caso da inequação (1.2), referente ao par $\{e, f\}$ de S seja dualizada (penalizada) em uma relaxação lagrangiana, seja u_{ef} o multiplicador de Lagrange correspondente. A partir daí, vamos considerar duas possíveis relaxações lagrangianas para o AGMCC. São elas:

- **Relaxação 1:**

$$(RL^1) \quad z^1(u) = \min \left\{ \sum_{e \in E} (c_e + \sum_{\{e,v\} \in S_e} u_{ef}) x_e - \sum_{\{e,f\} \in S} u_{ef} \right\} \quad (1.4)$$

sujeito a:

$$x \in \mathcal{F} \quad (1.5)$$

onde $u \in \mathbb{R}_+^{|S|}$

- **Relaxação 2:**

$$(RL^2) \quad z^2(u) = \min \left\{ \sum_{e \in E} (c_e + \sum_{\{e,v\} \in S_e \setminus S_{e^*}} u_{ef}) x_e - \sum_{\{e,f\} \in S \setminus S_{e^*}} u_{ef} \right\} \quad (1.6)$$

sujeito a:

$$x_{e^*} + x_f \leq 1, \forall \{e^*, f\} \in S_{e^*} \quad (1.7)$$

$$x \in \mathcal{F} \quad (1.8)$$

onde $u \in \mathbb{R}_+^{|S \setminus S_{e^*}|}$

Seja z_{LP} o valor da relaxação linear dada por este modelo e w_{LD}^k o valor ótimo do dual lagrangiano para a relaxação RL^k , $k = 1, 2$.

2 Respostas das Questões Teóricas

1. **Formule o problema dual lagrangiano w_{LD}^k associado a cada relaxação RL^k .**

O problema dual lagrangiano associado à relaxação RL^1 é dado por:

$$(LD^1) \quad w_{LD}^1 = \max\{z^1(u) : u \in \mathbb{R}_+^{|S|}\} \quad (2.1)$$

Pelo Teorema 10.3 de Wolsey (1998), temos:

$$(DL^1) \quad w_{LD}^1 = \min\left\{\sum_{e \in E} c_e x_e\right\} \quad (2.2)$$

sujeito a:

$$x_e + x_f \leq 1, \forall \{e, f\} \in S \quad (2.3)$$

$$x \in \text{conv}(\mathcal{F}) \quad (2.4)$$

O problema dual lagrangiano associado à relaxação RL^2 é dado por:

$$(LD^2) \quad w_{LD}^2 = \max\{z^2(u) : u \in \mathbb{R}_+^{|S \setminus S_{e^*}|}\} \quad (2.5)$$

Para cada aresta e de E , define-se $\mathcal{F}_e = \{x \in \mathcal{F} : x_e + x_f \leq 1, \forall \{e, f\} \in S_e\}$.

Pelo Teorema 10.3 de Wolsey (1998), temos:

$$(DL^2) \quad w_{LD}^2 = \min\left\{\sum_{e \in E} c_e x_e\right\} \quad (2.6)$$

sujeito a:

$$x_e + x_f \leq 1, \forall \{e, f\} \in S \setminus S_{e^*} \quad (2.7)$$

$$x \in \text{conv}(\mathcal{F}_{e^*}) \quad (2.8)$$

2. **Algoritmos para resolver o problema da árvore geradora mínima (PAGM) e, por consequência, o problema primal lagrangiano ($z^1(u)$) da primeira relaxação, podem ser encontrados em bons livros-texto de projeto e análise de algoritmos. Diga qual o algoritmo você usou para resolver o PAGM na sua implementação, destacando a complexidade de pior caso**

do mesmo e citando a fonte de suas informações (referências bibliográficas). Justifique a escolha do algoritmo utilizado, levando em consideração as características dos grafos usados nos testes.

O algoritmo utilizado para resolver o PAGM foi o algoritmo de Kruskal, cuja complexidade de pior caso é dada por $O(m \log n)$. Outro algoritmo conhecido para resolver o PAGM é o algoritmo de Prim, cuja complexidade de pior caso é dada por $O(m + n \log n)$ (CORMEN et al., 2009).

O algoritmo de Kruskal foi escolhido pois o grafo mais denso nas instâncias de teste tem $m = 5n$, ou seja, os grafos nas instâncias de teste são tais que $m \in O(n)$. Deste modo, nas instâncias de teste, temos que a complexidade pior caso do algoritmo de Kruskal, dada por $O(n \log n)$, é melhor que a complexidade de pior caso do algoritmo de Prim, dada por $O(n + n \log n)$.

3. Usando resultados teóricos vistos em aula, diga se a afirmação seguinte é falsa ou verdadeira: “A relaxação RL^1 tem a propriedade de integralidade, ou seja, $w_{LD}^1 = z_{LP}$.” Em caso afirmativo, qual seria então a vantagem de usar a relaxação RL^1 ?

Como \mathcal{F} é o conjunto de todos os vetores de incidência que representam árvores geradoras mínimas de G , temos, por Darmann, Pferschy e Schauer (2009), que: $\mathcal{F} = \{x \in \mathbb{Z}_+^m : \sum_{e \in E} x_e = n - 1, \sum_{e \in E(V')} x_e \leq |V'| - 1 \forall \emptyset \neq V' \subseteq V, x_e \leq 1 \forall e \in E\}$

Vamos considerar o conjunto $\mathcal{F}' = \{x \in \mathbb{R}_+^m : \sum_{e \in E} x_e = n - 1, \sum_{e \in E(V')} x_e \leq |V'| - 1 \forall \emptyset \neq V' \subseteq V, x_e \leq 1 \forall e \in E\}$. A matriz de restrições A que define \mathcal{F}' é da forma $\begin{pmatrix} B \\ I \end{pmatrix}$, onde B vem das restrições de conexidade e de eliminação de subciclos, e I vem das restrições de limitação superior. Porém, temos que B tem a propriedade dos 1's consecutivos, logo, pelo resultado teórico visto em aula (exercício 3.3 de Wolsey (1998)), temos que B é totalmente unimodular. Logo, pela Proposição 3.1 de Wolsey (1998), temos que A é totalmente unimodular. Então, pela Proposição 2.2 de Nemhauser e Wolsey (1988), temos que \mathcal{F}' é inteiro. Portanto, pelo Corolário 6.6 de Nemhauser e Wolsey (1988), temos que a afirmação é verdadeira.

A vantagem de usar a relaxação RL^1 consiste no fato de existirem algoritmos combinatórios polinômiais para resolvê-la, enquanto que resolver a relaxação linear LP do problema é impraticável, pois é necessário carregar na memória uma quantidade de restrições exponencial no tamanho da entrada.

4. Em teoria, os limitantes duais gerados por uma das relaxações domina aqueles obtidos pela outra? Justifique.

Conforme visto em aula, temos que $z \geq w_{LD}^k \geq z_{LP}$, para $k = 1, 2$. Porém, vimos que $w_{LD}^1 = z_{LP}$. Logo, temos que $w_{LD}^2 \geq w_{LD}^1$. Portanto, os limitante duais gerados pela relaxação RL^2 dominam aqueles gerados pela relaxação RL^1 .

5. Descreva um algoritmo polinomial para resolver o problema lagrangiano ($z^2(u)$) da relaxação RL^2 . Dê a complexidade de pior caso do seu

algoritmo e argumente porque ele está correto.

Para cada aresta e de E , definimos $E_e = \{f \in E : \{e, f\} \in S_e, f \neq e\}$ como o subconjunto de arestas de E que conflitam com a aresta e . Um algoritmo que resolve o problema primal lagrangiano da relaxação RL^2 consiste em resolver o PAGM com custos lagrangianos no subgrafo $G[E \setminus E_{e^*}]$ induzido pelo conjunto de arestas $E \setminus E_{e^*}$ que não conflitam com a aresta e^* e subtrair o termo $\sum_{\{e,f\} \in S \setminus S_{e^*}} u_{ef}$ do valor ótimo obtido. Como $E \setminus E_{e^*} \subset E$ e $V(E \setminus E_{e^*}) \subseteq V$, temos que $|E \setminus E_{e^*}| < m$ e $|V(E \setminus E_{e^*})| \leq n$. Então, usando o algoritmo de Kruskal, obtemos a complexidade de pior caso de $O(m \log n)$.

Seja x a solução obtida pelo algoritmo descrito acima, temos que $x_f = 0, \forall f \in E_{e^*}$, pois o subgrafo $G[E \setminus E_{e^*}]$ não possui nenhuma aresta de E_{e^*} . Logo, temos que $x_{e^*} + x_f \leq 1, \forall \{e^*, f\} \in S_{e^*}$. Portanto, temos que x é uma solução viável para o problema primal lagrangiano da relaxação RL^2 .

Vamos mostrar que a solução x , que define a árvore T , é uma solução ótima por indução. Seja x^* uma solução ótima para o problema primal lagrangiano da relaxação RL^2 e T^* a árvore definida por x^* . Se $x = x^*$, então x é uma solução ótima. Se $x \neq x^*$, então existe uma aresta e em $T^* \setminus T$ de custo mínimo. Temos que $T \cup \{e\}$ contém um ciclo C tal que toda aresta em C tem custo menor ou igual à c_e e existem alguma aresta f em C que não está em T^* . Seja $T' = T \setminus \{e\} \cup \{f\}$, temos que T' é uma árvore geradora de $G[E \setminus E_{e^*}]$ que tem mais arestas em comum com T^* do que T tinha e $\sum_{e \in T'} c_e x_e \geq \sum_{e \in T} c_e x_e$. Podemos refazer este processo com T' para encontrar uma árvore geradora T'' com mais arestas em comum com T^* . Por indução, podemos repetir este processo até obter T^* , daonde obtemos que:

$$\sum_{e \in T} c_e x_e \leq \sum_{e \in T'} c_e x_e \leq \sum_{e \in T''} c_e x_e \leq \dots \leq \sum_{e \in T^*} c_e x_e.$$

Como T^* é uma árvore geradora mínima, então estas inequações devem ser atendidas na igualdade e concluímos que T é uma árvore geradora mínima de $G[E \setminus E_{e^*}]$ e, portanto, a solução x é uma solução ótima.

3 Pré-processamento

Com o intuito de melhorar o processo de solução, foi utilizado o algoritmo de pré-processamento descrito por Samer e Urrutia (2015). O algoritmo consiste em um processo iterativo de três fases, onde cada fase é executada enquanto a instância do problema for atualizada.

A primeira fase busca por arestas de corte em G , usando uma busca em profundidade. Enquanto o G for conexo, qualquer aresta de corte e é fixada na solução e as arestas que conflitam com e são removidas de G e seus respectivos pares conflitantes são removidos de S .

Na segunda fase, checamos se fixar uma aresta e na solução e remover as arestas que conflitam com e de G e, então, fixar as possíveis novas arestas de corte, nos leva a um grafo desconexo, então podemos remover e de G e seus conflitos correspondentes de S . Neste caso, retornamos à fase 1, pois G pode conter novas arestas de corte.

Na terceira fase, checamos se fixar na solução um par de arestas e e f , tal que e e f não conflitam entre si, e remover as arestas que conflitam com e e com f e fixar todas as novas arestas de corte nos leva a um grafo desconexo. Neste caso, o novo par conflitante $\{e, v\}$ é adicionado à S , e retornamos à segunda fase, para checar se é possível remover alguma aresta.

Como este processo pode demorar muito tempo, foi definido o parametro *preProcessingTimeLimit* que limita quantos segundos são gastos no pré-processamento.

4 Heurística Lagrangiana

Com o intuito de gerar soluções primais a partir das soluções duais obtidas pelas relaxações lagrangianas RL^k , com $k = 1, 2$, foi implementada a heurística lagrangiana descrita a seguir.

Dada uma solução dual T^D do problema e um subconjunto de arestas fixadas $F \subseteq T^D$ obtido pelo algoritmo de pré-processamento descrito na Seção 3, computamos o conjunto de arestas não fixadas conflitantes em T^D , dado por $E^R = \{e \in T^D : e \notin F, \exists \{e, f\} \in S \text{ para alguma } f \in T^D\}$. A seguir, removemos as arestas em E^R de T^D , obtendo a floresta $T' = T^D \setminus E^R$. Então, computamos o conjunto de arestas que não estão em T' e nem conflitam com nenhuma aresta de T' , dado por $E^I = \{e \in E : e \notin T' \text{ e } \nexists \{e, f\} \in S \forall f \in T'\}$. Finalmente, obtemos um subconjunto de arestas T^P a partir de T' adicionando as arestas e em E^I que não conflitam com nenhuma aresta que já esteja em T^P e que conecte duas componentes conexas distintas de T^P . Neste último passo, as arestas em E^I são analisadas em ordem crescente de custo, de maneira análoga ao algoritmo de Kruskal. Se, ao final do processo, T^P for conexo, então obtemos uma solução primal para o problema.

A complexidade da minha implementação da heurística lagrangiana é dada por $O(p \log n + mn \log p)$. Assim como no caso do algoritmo de pré-processamento, foi definido o parametro *fixSolutionTimeLimit* para limitar quantos segundos são gastos na heurística lagrangiana.

5 Heurística Construtiva

Com o intuito de obter um limitante primal inicial para o MS, foi implementada a heurística construtiva apresentada por Zhang, Kabadi e Punnen (2011).

Esta heurística consiste em, enquanto $S \neq \emptyset$, escolher uma aresta e de E que aparece no maior número de pares conflitantes, removê-la de G e remover de S todos os pares conflitantes envolvendo e . Se, ao final do procedimento, G ainda for conexo, então o custo de uma árvore geradora mínima de G é um limitante primal para o AGMCC.

Além desta heurística construtiva, também é utilizada a heurística lagrangiana, descrita na Seção 4, a partir da solução dual obtida ao se resolver o PAGM em G (desconsiderando os conflitos) para obter um limitante primal inicial.

Assim como no caso do algoritmo de pré-processamento e da heurística lagrangiana, foi definido o parâmetro *constructiveHeuristicTimeLimit* para limitar quantos segundos são gastos na heurística construtiva.

6 Resultados

Nesta Seção são apresentados e analisados os resultados obtidos pelos experimentos computacionais. Os experimentos foram realizados em uma máquina com processador Intel® Pentium(R) CPU G4560 @ 3.50GHz x 4, com 8GB de memória RAM. Os valores dos parâmetros usados são apresentados na Tabela 6.1. Os parâmetros *totalTimeLimit*, *preProcessingTimeLimit*, *constructiveHeuristicTimeLimit* e *fixSolutionTimeLimit* limitam o tempo de execução, já os parâmetros π e N são usados para calcular o passo do MS, enquanto que o parâmetro $\min\pi$ é utilizado como um critério de parada (BEASLEY, 1993).

Tabela 6.1: Valores dos parâmetros usados em cada relaxação RL^k

Parâmetro	RL^1	RL^2
<i>totalTimeLimit</i>	90	90
<i>preProcessingTimeLimit</i>	15	15
<i>constructiveHeuristicTimeLimit</i>	15	15
<i>fixSolutionTimeLimit</i>	5	5
π	2.0	3.0
N	15	30
$\min\pi$	0.05	0.05

Os melhores limitantes primais e duais encontrados pelas relaxações lagrangianas e o GAP de otimalidade são apresentados na Tabela 6.2. O GAP de otimalidade é definido como: $GAP = \frac{\bar{z} - \underline{z}}{\bar{z}}$. Como os custos das arestas dos grafos das instâncias de testes são todos inteiros, podemos arredondar para cima o limitante dual e calcular o GAP como: $GAP = \frac{\bar{z} - \lceil \underline{z} \rceil}{\bar{z}}$. Quando o GAP for igual a zero, isto é, quando $\bar{z} = \lceil \underline{z} \rceil$, temos que a solução encontrada é ótima. Logo, podemos parar o MS quando $\bar{z} - \underline{z} < 1$.

Pela Tabela 6.2 podemos ver que a relaxação RL^1 conseguiu encontrar soluções primais viáveis para 21 instâncias, sendo que para 10 instâncias foi encontrada uma solução ótima, enquanto que a relaxação RL^2 conseguiu encontrar soluções primais viáveis para 20 instâncias, sendo que para 10 instâncias foi encontrada uma solução ótima. Porém, também podemos ver que a relaxação RL^2 obteve GAP 's negativos para 3 instâncias, ou seja, obteve limitantes duais superiores aos limitantes primais para 3 instâncias. Disso podemos concluir que há um erro na minha implementação do algoritmo para resolver

o problema lagrangiano da relaxação RL^2 . Contudo, mesmo com este erro, a relaxação lagrangiana RL^2 conseguiu obter bons resultados.

A Tabela 6.3 apresenta os tempos computacionais totais e os de obtenção de cada um dos melhores limitantes duais e primais para todas as instâncias de teste e relaxações. Analisando a Tabela 6.3 podemos ver que, em geral, os tempos de obtenção do melhor limitante primal na relaxação RL^1 são inferiores aos da relaxação RL^2 enquanto que os tempos de obtenção do melhor limitante dual na relaxação RL^2 são inferiores aos das relaxação RL^1 .

A Figura 6.1 apresenta um gráfico mostrando a variação dos limitantes inferior e superior em função do número de iterações do MS para a instância *type1/z50-200-398.gcc* obtidos pela relaxação RL^1 . Podemos ver que tanto o limitante dual quando o primal oscilam, mas tendem ao valor ótimo conforme o número de iterações cresce. Além disso, podemos ver uma melhora significativa do limitante dual por volta da iteração 20. Isto provavelmente deve-se à atualização do valor de π após N iterações sem melhoras, conforme descrito por BEASLEY.

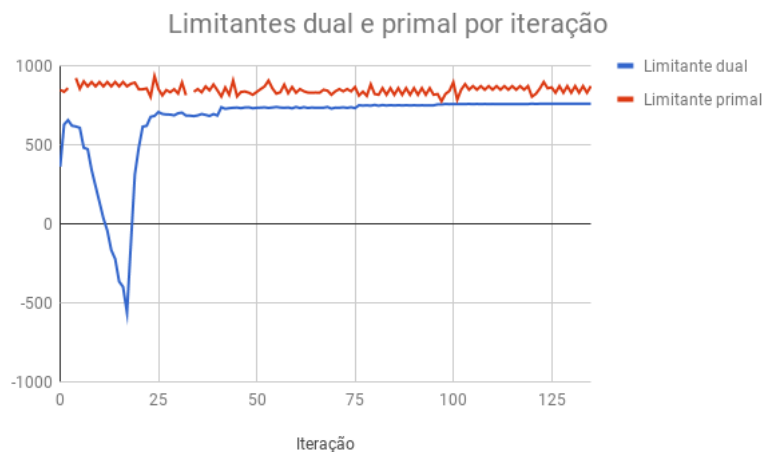


Figura 6.1: Variação dos limitantes dual e primal em função do número de iterações para a instância *type1/z50-200-398.gcc* obtidos pela relaxação RL^1 .

Referências Bibliográficas

WOLSEY, L. *Integer Programming*. [S.l.]: Wiley-Interscience, 1998. (Wiley-Interscience Series in Discrete Mathematics and Optimization). ISBN 9780471283669.

CORMEN, T. H. et al. *Introduction to algorithms*. [S.l.]: MIT press, 2009.

DARMANN, A.; PFERSCHY, U.; SCHAUER, J. Determining a minimum spanning tree with disjunctive constraints. In: ROSSI, F.; TSOUKIAS, A. (Ed.). *Algorithmic*

Decision Theory. Berlin, Heidelberg: Springer Berlin Heidelberg, 2009. p. 414–423. ISBN 978-3-642-04428-1.

NEMHAUSER, G. L.; WOLSEY, L. A. Integer and combinatorial optimization. Wiley-Interscience, 1988.

SAMER, P.; URRUTIA, S. A branch and cut algorithm for minimum spanning trees under conflict constraints. *Optimization Letters*, v. 9, n. 1, p. 41–55, Jan 2015. ISSN 1862-4480. Disponível em: <<https://doi.org/10.1007/s11590-014-0750-x>>.

ZHANG, R.; KABADI, S. N.; PUNNEN, A. P. The minimum spanning tree problem with conflict constraints and its variations. *Discrete Optimization*, v. 8, n. 2, p. 191–205, 2011. ISSN 1572-5286. Disponível em: <<http://www.sciencedirect.com/science/article/pii/S1572528610000551>>.

BEASLEY, J. E. Modern heuristic techniques for combinatorial problems. In: REEVES, C. R. (Ed.). New York, NY, USA: John Wiley & Sons, Inc., 1993. cap. Lagrangian Relaxation, p. 243–303. ISBN 0-470-22079-1. Disponível em: <<http://dl.acm.org/citation.cfm?id=166648.166660>>.

Tabela 6.2: Limitantes primal (\bar{z}) e dual (\underline{z}) e GAP obtidos pelas relaxações lagrangianas RL^k .

Instância	RL^1			RL^2		
	\bar{z}	\underline{z}	GAP	\bar{z}	\underline{z}	GAP
type1/z50-200-199.gcc	708	704.402992	0.004237	708	704.056149	0.004237
type1/z50-200-398.gcc	775	759.812786	0.019355	794	779.524927	0.017632
type1/z50-200-597.gcc	1358	584.000000	0.569956	1072	584.000000	0.455224
type1/z50-200-995.gcc	∞	584.000000	NaN	∞	584.000000	NaN
type1/z100-300-448.gcc	4784	3125.000000	0.346781	4498	3125.000000	0.305247
type1/z100-300-897.gcc	∞	3132.000000	NaN	∞	3132.000000	NaN
type1/z100-500-1247.gcc	4282	4266.143677	0.003503	4304	4270.583522	0.007667
type1/z100-500-2495.gcc	∞	3241.000000	NaN	∞	3241.000000	NaN
type1/z100-500-3741.gcc	∞	3241.000000	NaN	∞	3241.000000	NaN
type1/z200-600-1797.gcc	∞	7386.000000	NaN	∞	7386.000000	NaN
type1/z200-800-3196.gcc	∞	11939.000000	NaN	∞	11939.000000	NaN
type2/z50-200-3903.gcc	1177	1088.917737	0.074766	1177	1431.376241	-0.216653
type2/z50-200-4877.gcc	∞	$-\infty$	NaN	∞	$-\infty$	NaN
type2/z50-200-5864.gcc	2350	2350.000000	0.000000	2350	2350.000000	0.000000
type2/z100-300-8609.gcc	7460	7460.000000	0.000000	7460	7460.000000	0.000000
type2/z100-300-10686.gcc	∞	$-\infty$	NaN	∞	$-\infty$	NaN
type2/z100-300-12761.gcc	8166	8166.000000	0.000000	8166	8166.000000	0.000000
type2/z100-500-24740.gcc	∞	3333.000000	NaN	∞	3333.000000	NaN
type2/z100-500-30886.gcc	∞	4243.000000	NaN	∞	4206.000000	NaN
type2/z100-500-36827.gcc	11637	11637.000000	0.000000	11637	11637.000000	0.000000
type2/z200-400-13660.gcc	17728	17728.000000	0.000000	17728	17728.000000	0.000000
type2/z200-400-17089.gcc	18617	18617.000000	0.000000	18617	18617.000000	0.000000
type2/z200-400-20469.gcc	19140	19140.000000	0.000000	19140	19140.000000	0.000000
type2/z200-600-34504.gcc	20716	10176.000000	0.508785	∞	118177514148	NaN
type2/z200-600-42860.gcc	18025	9881.000000	0.451817	18025	10444.91773	0.420527
type2/z200-600-50984.gcc	20864	10261.000000	0.508196	20864	20864.00008	-0.000048
type2/z200-800-62625.gcc	∞	13263.000000	NaN	∞	13263.000000	NaN
type2/z200-800-78387.gcc	∞	14727.000000	NaN	∞	5219674241	NaN
type2/z200-800-93978.gcc	∞	14649.000000	NaN	∞	14649.000000	NaN
type2/z300-600-31000.gcc	43721	43721.000000	0.000000	43721	43721.000000	0.000000
type2/z300-600-38216.gcc	44267	44267.000000	0.000000	44267	44267.000000	0.000000
type2/z300-600-45310.gcc	43071	43071.000000	0.000000	43071	43071.000000	0.000000
type2/z300-800-59600.gcc	43125	25258.000000	0.414307	43125	43125.00007	-0.000023
type2/z300-800-74500.gcc	42292	27388.000000	0.352407	∞	40224582637	NaN
type2/z300-800-89300.gcc	∞	26956.000000	NaN	44114	26956.000000	0.388947
type2/z300-1000-96590.gcc	∞	27733.000000	NaN	∞	27733.000000	NaN
type2/z300-1000-120500.gcc	∞	29134.000000	NaN	∞	756952651.7	NaN
type2/z300-1000-144090.gcc	∞	28138.000000	NaN	∞	28138.000000	NaN

Tabela 6.3: Tempo computacional total (t) e tempo de obtenção do melhor limitante primal ($t(\bar{z})$) e do melhor limitante dual ($t(\underline{z})$) em segundos, obtidos pelas relaxações lagrangianas RL^k .

Instância	RL^1			RL^2		
	t	$t(\bar{z})$	$t(\underline{z})$	t	$t(\bar{z})$	$t(\underline{z})$
type1/z50-200-199.out	15	15	15	15	15	15
type1/z50-200-398.out	15	15	15	16	15	16
type1/z50-200-597.out	15	15	15	16	15	15
type1/z50-200-995.out	16	-	15	17	-	15
type1/z100-300-448.out	16	16	15	17	16	15
type1/z100-300-897.out	17	-	15	18	-	15
type1/z100-500-1247.out	28	28	27	33	25	32
type1/z100-500-2495.out	31	-	15	35	-	15
type1/z100-500-3741.out	38	-	15	44	-	15
type1/z200-600-1797.out	29	-	15	33	-	15
type1/z200-800-3196.out	42	-	15	49	-	15
type2/z50-200-3903.out	21	17	20	22	17	18
type2/z50-200-4877.out	90	-	-	90	-	-
type2/z50-200-5864.out	90	-	-	90	-	-
type2/z100-300-8609.out	2	2	2	2	2	2
type2/z100-300-10686.out	90	-	-	90	-	-
type2/z100-300-12761.out	2	2	2	2	2	2
type2/z100-500-24740.out	85	-	15	90	-	15
type2/z100-500-30886.out	44	-	15	50	-	15
type2/z100-500-36827.out	16	15	16	15	15	15
type2/z200-400-13660.out	30	15	30	30	15	30
type2/z200-400-17089.out	30	15	30	31	15	31
type2/z200-400-20469.out	30	30	30	30	30	30
type2/z200-600-34504.out	59	39	15	90	-	89
type2/z200-600-42860.out	73	44	15	90	42	90
type2/z200-600-50984.out	84	49	15	60	42	60
type2/z200-800-62625.out	90	-	15	90	-	15
type2/z200-800-78387.out	91	-	15	90	-	83
type2/z200-800-93978.out	90	-	15	91	-	15
type2/z300-600-31000.out	32	15	32	32	15	32
type2/z300-600-38216.out	35	15	35	36	15	36
type2/z300-600-45310.out	31	16	16	31	16	16
type2/z300-800-59600.out	90	74	15	61	51	61
type2/z300-800-74500.out	90	63	16	90	-	90
type2/z300-800-89300.out	91	-	15	91	67	15
type2/z300-1000-96590.out	93	-	15	91	-	15
type2/z300-1000-120500.out	94	-	15	90	-	87
type2/z300-1000-144090.out	94	-	15	91	-	15